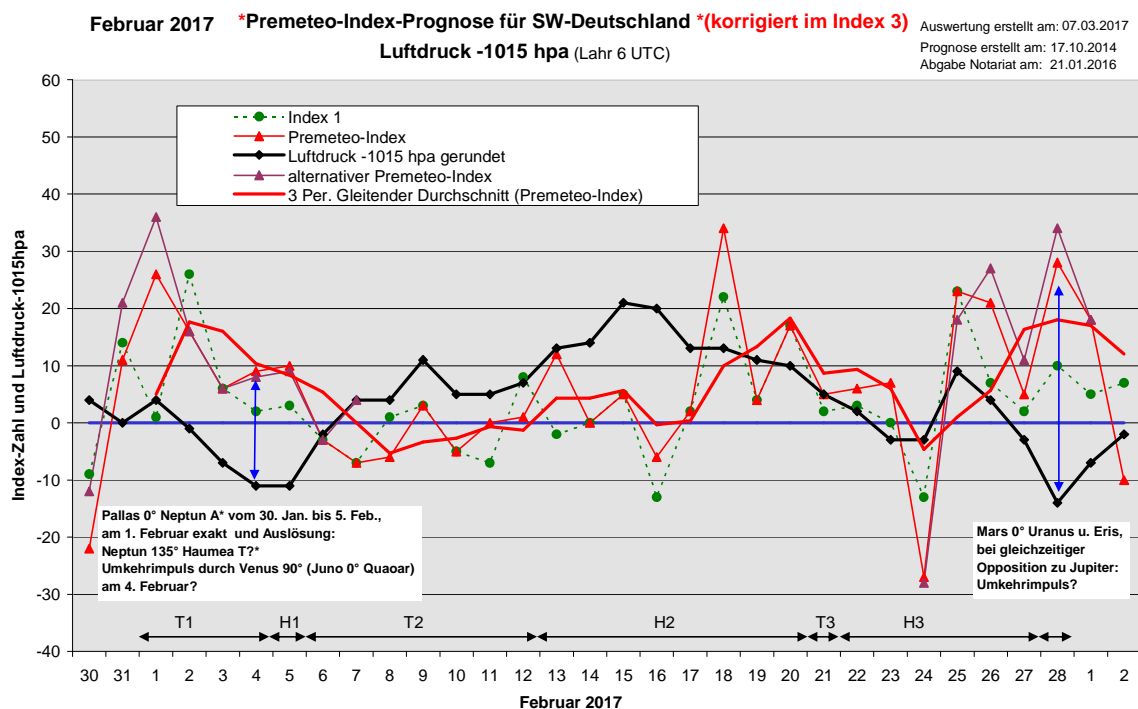
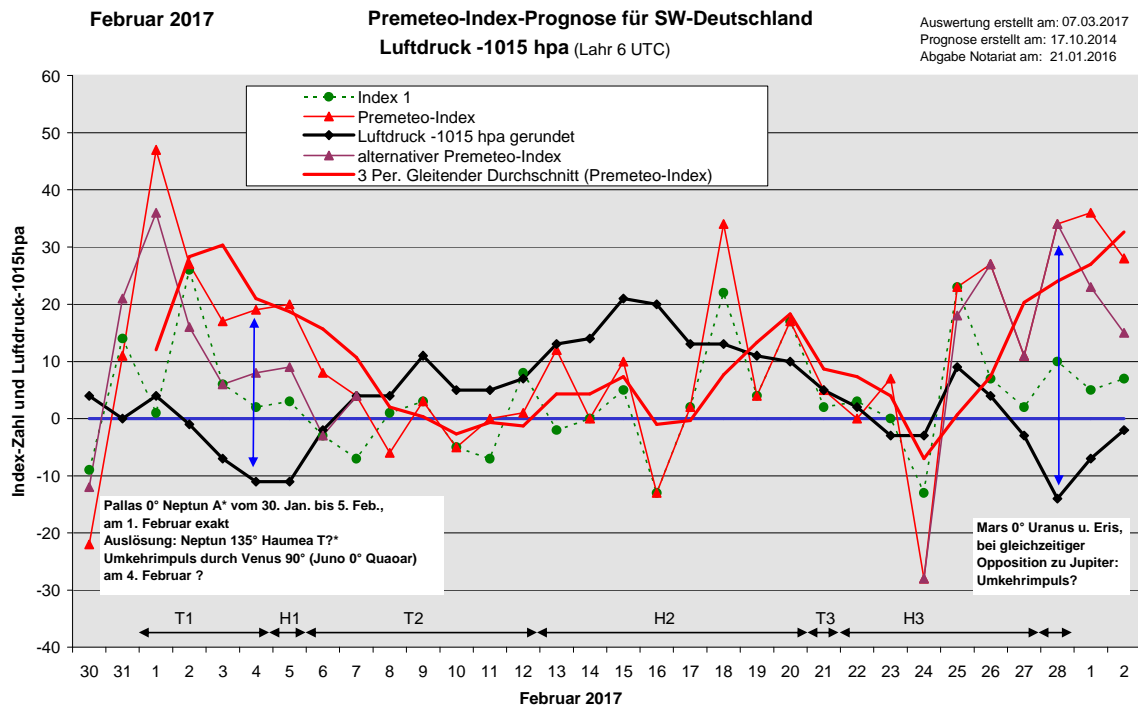


Wetterlagenverlauf Februar 2017 im Vergleich zur Premeteo-Indexprognose für Südwest-Deutschland

(Im Diagramm sind über der Datumsachse die real eingetreten Hoch- und Tiefdruckphasen durch Doppelpfeile eingetragen. Ausschlaggebend für die Evaluation ist der tägliche Premeteo-Index, in der dünneren, roten Linie mit Dreieckspunkten dargestellt. Ein negativer Premeteo-Index zeigt die Wahrscheinlichkeit für eine zyklonale Tiefdruckströmung, ein positiver Premeteo-Index die Wahrscheinlichkeit für eine antizyklonale Hochdruckströmung an.

Die Wetterlagenbeschreibungen wurden anhand der Berliner Wetterkarten erstellt. Ausschlaggebend ist die Europa-Bodenkarte um 0 UTC, die feiner skalierte 12 UTC-Karte von Mitteleuropa wird nur bei einem Wetterlagenwechsel für die Einordnung des Tages hinzugezogen. Am Ende des Dokuments befinden sich die Tabellen und Konstellationen, die dem Diagramm zugrunde liegen.)



Wetterlagenverlauf Februar 2017 im Vergleich zur Premeteo-Indexprognose für Südwest-Deutschland

(Die Wetterlagenbeschreibungen wurden anhand der Berliner Wetterkarten erstellt.)

Zusammenfassung:

Die Prognose des Februar 2017 wurde ähnlich wie der Januar 2017 nur unbefriedigend erfüllt. Bezüglich der Strömung waren nur 16 Tage mit richtigem Vorzeichen berechnet worden und der mittlere Premeteo-Index in den realen Tiefdruckwetterphasen lag im positiven statt im negativen Bereich.

Der Blick auf das Auswertungsdiagramm zeigt, dass besonders zu Beginn und am Ende des Monats der Premeteo-Index viel zu hoch im positiven Bereich verlief, zusätzlich jeweils kombiniert mit einem spiegelbildlichen Verlauf, der ein Hinweis auf das Phänomen eines Umkehrimpulses durch die retrograd rotierenden Planeten Venus und Uranus sein kann. Tatsächlich wurden am 4. Februar die beiden Aspekte Venus 90° Juno und Venus 90° Quaoar exakt, wobei Juno und Quaoar eine Konjunktion bildeten.

Am 28. Februar lag die Besonderheit vor, dass Mars mit der schon bestehenden Uranus-Eris-Konjunktion ebenfalls in Konjunktion trat und dass sich dies zugleich in Opposition zu Jupiter vollzog. Auch hier zeigte sich deutlich eine Intensivierung des Wettergeschehens zum gleichen Zeitpunkt wie durch den Premeteo-Index errechnet, aber in einer gegenteiligen Auswirkung.

Wenn auch die Premeteo-Interpretation dieser intensivierten Konstellationen falsch war, so war der Intensivierungszeitpunkt der Strömungsverhältnisse dennoch richtig erfasst und bestätigte trotz Fehlprognose den Einfluss der Raumstrukturen auf die Strömungen der Erdatmosphäre über Südwestdeutschland.

Die Auswertung des Januar 2017 hatte gezeigt, dass der Index 3 mit den Auslösungsaspekten durch Konjunktionen Ursache für einen insgesamt zu hohen oder zu tiefen Premeteo-Index sein kann. Ein besseres Ergebnis wurde erzielt, als nur die Auslöseaspekte berücksichtigt wurden, bei denen der Aspektpartner einen höheren Rang hatte als der jeweils beteiligte Konjunktionsplanet. Diese Korrektur wurde nun ebenfalls für den Februar 2017 durchgeführt und in einem zweiten Diagramm dargestellt. Es zeigte sich auch in diesem Monat, dass sich die Premeteo-Indexwerte an den betroffenen Tagen dadurch zugunsten des realen Wetterlagenverlaufs veränderten. Die Fehlprognosetage zu Beginn und am Ende des Monats konnten jedoch wegen des spiegelbildlichen Verlaufs nicht ganz beseitigt werden, aber die Kurven des Premeteo-Index und des Luftdrucks näherten sich dadurch einander mehr an. Der mittlere Premeteo-Indexwert der Tiefdruckphasen blieb zwar im positiven Bereich, war dann aber deutlich kleiner als der mittlere Indexwert der Hochdruckphasen, wie es die Hypothese verlangt.

Beschreibung der einzelnen Wetterphasen:

Tiefdruckphase 1: Die Tiefdruckwetterlage, die am 30. Januar durch Tief Hubert begann, setzte sich Anfang Februar fort. Der 1. Februar war mit einem Premeteo-Index von +47 damit eine totale Fehlprognose. Die Wetterkarte zeigte allerdings, dass nur Südwestdeutschland unter der Höhenokklusion von Tief Hubert mit Kern über den Ostalpen lag, und dass das restliche Deutschland zum Isobarenbereich eines Hochs über dem Schwarzmeer gehörte! Die hohen positiven Werte des Premeteo-Index kamen aus Index 2 und 3 durch die Konjunktion von Juno mit Quaoar, während Index 1 mit +1 der Wetterlage am ehesten entsprach. Juno 0° Quaoar (1. - 7. 2., exakt am 3.) löste den unsicheren Aspekt Quaoar 144° Sedna H?* aus, der nur im alternativen Index nicht berechnet worden war und der nun aufgrund des Wetterlaufs zu Beginn dieses Monats auf A?* umgestuft wurde. Eine konstellatorische Besonderheit des 1. Februars war die exakte Konjunktion von Pallas mit Neptun, ein A*-Aspekt, der Neptun 135° Haumea T?* auslöste. Diese Konjunktion mit dem Auslöseaspekt war seit dem 29. Januar im 1°-Toleranzbereich und mit ihr wurde zeitgleich

die besonders kalte Winterphase vom 16. bis zum 28. Januar beendet. Am 2. Februar kam es zwar zu einem schwachen Luftdruckanstieg mit heiteren Witterungsmomenten, doch wechselte die Region bei sehr milden Temperaturen in den Isobarenbereich von Tief Jürgen über dem Ostatlantik, das seinen Kern bis zum 3. nach Norden westlich von Schottland verlagerte, während sich nun Tief Kurt westlich der Biskaya entwickelte und am 4. schon okkludiert über Großbritannien lag. Über der Biskaya war derweil sehr rasch das Sturmtief Leiv entstanden, das über Frankreich fegte und am Spätnachmittag mit seinem Luftdruckminimum unsere Region passierte, dabei aber stark an Energie verlor und keine Schäden anrichtete. Der gegensätzliche Verlauf von Premeteo-Index und Luftdruckkurve vermittelte an diesem Tag den Eindruck einer Impulsumkehr durch die begleitenden 90°-Venus-Aspekte zu Juno und Quaoar, die sich miteinander in Konjunktion befanden. Der Premeteo-Index und der alternative Premeteo-Index (ohne die Auslösung von Quaoar 144° Sedna H?*) lagen weiterhin im positiven Bereich, aber der einzige, exakte Impuls-Aspekt des Tages war Merkur 45° Neptun T, der durch die Konjunktion von Pallas mit Neptun auch im Index 3 als Auslöseaspekt auftrat. Der Premeteo-Index summierte über die 4-tägige Tiefdruckwetterphase auf +110 / altern. +66, und sie wies im Index 1 nur einen einzigen T-Aspekt auf!

Nach den Erfahrungen mit dem Index 3 bei der Auswertung des Januar 2017, wurde nun auch für den Februar 2017 ein nachträglich im Index 3 korrigierter Premeteo-Index erstellt. Es wurde darauf geachtet, dass nur die fast-exakten Aspekte der Konjunktionsplaneten als aktiviert betrachtet wurden, deren Aspektpartner einen höheren Rang hatten als der jeweils beteiligte Konjunktionsplanet. Die nicht berechneten Aspekte wurden in den Tabellen rot markiert. Die 4-tägige Tiefdruckphase summierte korrigiert damit auf +57.

Hochdruckphase 1: Am 5. war von Tief Leiv nur noch ein okkludierter Rest mit Kern über den Beneluxländern übrig. Von Südfrankreich erstreckte sich um 0 UTC ein schmaler Hochdruck-Keil mit geringem Luftdruckniveau nach Norden bis an den Südrand unserer Region. Tief Marcel lag mit seinem Kern etwas westlich der Biskaya und hatte bis Mittag mit seinem Isobarenbereich noch nicht unsere Region erreicht. Deshalb wurde dieser Tag als schwach antizyklonal eingestuft, obwohl das Wetter unverändert von dichter Bewölkung und Niederschlag bestimmt war. Der Premeteo-Index hatte einen Wert von +20, im Index 3 korrigiert von +10.

Tiefdruckphase 2: Am 6. lag Tief Marcel mit seinen Kernen über Ostfrankreich und Mittelitalien. Wenigstens der Index 1 und der alternative Index hatten nun einen negativen Wert. Hoch Erika über Finnland hatte um 0 UTC seinen Einfluss über ganz Deutschland ausgedehnt, doch zeigte die Mittagskarte bereits wieder eine flache zyklonale Strömung über Südwestdeutschland. Trotz des steigenden Luftdrucks gelangte die Region am 8. in den Isobarenbereich von Tief Oli mit Kernen über den Beneluxländern und Südfrankreich. Tief Oli verlagerte zum 9. seinen Kern nach Sardinien und hielt weiterhin seinen Einfluss über unser Gebiet aufrecht. Zum 10. fand ein Übergang in den Isobarenbereich von Tief Pierre statt, das mit seinem Kern westlich der Biskaya lag. In den folgenden Tagen bis zum 12. verlagerte es seinen Kern etwas nach Süden und hielt trotzdem mit seinen relativ milden Luftmassen das kalte Hoch Erika über Skandinavien in Schach, dessen Isobaren an der Südseite trotz des steigenden Luftdrucks deutlich zum Kern von Tief Pierre gekrümmt blieben. Der Premeteo-Index summierte über die 7-tägige Tiefdruckphase auf +5, im Index 3 korrigiert auf -17.

Hochdruckphase 2: Hoch Erika konnte erst am 13. seinen Einflussbereich über ganz Deutschland ausweiten und brachte endlich Sonnenschein bis in die Tallagen hinab. Am 14., bei einem Premeteo-Index von 0, hatte Tief Pierre um 0 UTC noch einmal seinen Isobarenbereich über Südwestdeutschland ausgedehnt, doch blieb die Wetterlage insgesamt antizyklonal. Der Premeteo-Index lag am 15. wieder auf +10 und Hoch Erika entfaltete sich nun kräftiger über ganz Deutschland und verlagerte zum 16. seinen Kern zu den Karpaten. Am Abend des 16., ein wenig verspätet gegenüber dem Premeteo-Index dieses Tages von -13, griff noch mal Tief Pierre auf Deutschland über und brachte zum Teil kräftige Niederschläge. Bis 12 UTC des 17. (Premeteo-Index +10) lag unsere Region schon wieder im flach antizyklonalen Bereich von Hoch Felicitas, das sich nun von Frankreich herein bewegte. Es wanderte allerdings relativ rasch nach Osten weiter, und ein Keil des

Azorenhochs rückte am 19. und 20. nach Südwestdeutschland vor. Der Premeteo-Index summierte über die 8-tägige Hochdruckphase auf +66, im Index 3 korrigiert auf +68.

Tiefdruckphase 3: Tief Rolf mit Kern über dem Baltikum dehnte sich in der Nacht zum 21. über ganz Deutschland aus und leitete damit die Phase ein, in der sich auch der Premeteo-Index und der Luftdruck im Diagramm der Nulllinie annähernten. Der Premeteo-Index hatte einen Wert von +5.

Hochdruckphase 3: Das Azorenhoch setzte sich am 22. kurzzeitig noch mal über Südwestdeutschland durch und auch am 23. verblieb unsere Region im Zwischenhochbereich von Tief Thomas, das um 0 UTC noch über Irland lag und sich mit seinem Kern im Laufe des Tages über die Nordsee bewegte. Um 0 UTC des 24. lag Sturmtief Thomas mit seinem Kern über Nordostdeutschland und dehnte seinen Isobarenbereich über ganz Deutschland aus, doch bis Mittag lag schon wieder der Keil des Azorenhochs über Südwestdeutschland, so dass sowohl der 23. als auch der 24. als „überwiegend antizyklonale“ Tage eingestuft werden mussten. Das Sturmtief hatte auf den Bergen und nördlich unserer Region Bäume entwurzelt und zum Teil erhebliche Schäden verursacht. Das Azorenhoch dehnte sich am 25. als Hoch Geri weit nach Osten aus. Dies entsprach dem hohen positiven Wert des Premeteo-Indexes. Bis zum 26. hatte es seinen Kern schon nach dem Ostbalkan verlegt, aber auch am 27. bestand noch eine flache H-Brücke zwischen dem Azorenhoch und Hoch Geri, das nun über Südrussland lag. Der Premeteo-Index summierte über die 6-tägige Hochdruckphase auf +40 im Index 3 korrigiert auf +45.

Tiefdruckphase 4: Am letzten Tag des Monats, als der Premeteo-Index ein Maximum von +34 erreichte, trat durch das Sturmtief Udo III und IV ein Luftdruckminimum ein. Das Diagramm zeigt hier einen spiegelbildlichen Verlauf von Luftdruckkurve und Premeteo-Index, der auf das Phänomen der Impulsumkehrung hinweisen könnte. Es bestand eine besondere Konstellation, die bei ihren Einzelaspekten nur H-Impulse aufwies und die insbesondere auch über Symmetrien den Premeteo-Index nach oben trieben. Mars bildete eine Dreier-Konjunktion mit Uranus und Eris bei gleichzeitiger Opposition zu Jupiter. Dies könnte die entscheidende Konstellation für die Impulsumkehrung gewesen sein, da Uranus als ein Planet mit retrograder Eigenrotation daran beteiligt war. Der im Index 3 korrigierte Premeteo-Index hatte an diesem Tag den Wert +28.

SW-D befand sich an 15 Tagen im Einflussbereich antizyklonaler Strömung. Die Summe des prognostizierten Premeteo-Index für diese Tage ergab +126 / korr. +154. Dies entsprach einer Indexzahl von +8,4 / korr. +11,85 pro Tag.

An 13 Tagen befand sich SW-D im Einflussbereich zyklonaler Strömung. Die Summe des prognostizierten Premeteo-Index für diese Tage ergab +123 / korr. +73. Dies entsprach einer Indexzahl von +8,20 / +5,62 pro Tag.

Die Prognose durch die Premeteo-Wettersymbole war an 5 Tagen falsch (am 1., 4., 5., 20., 28.), an 10 Tagen richtig und an 13 Tagen tendenziell richtig.

07.03.2017
Februar 2017
01.02.2017



Prognose für SW-Deutschland

Vom 1. bis 7. tritt durch die Konjunktion von Juno mit Quaoar im Index 3 Quaoar 144° Sedna H?*(6,5/2) 11/0 auf, dessen H-Impuls noch unsicher ist.
 Ab dem 20. ist die Konjunktion Uranus 0° Eris A?*(2/1) aktiviert.
 Vom 20. bis 28. tritt durch die Konjunktion von Uranus mit Eris im Index 3 Orcus 135° Eris ?* auf, dessen Impuls zu diesem Prognosezeitpunkt noch ganz unbekannt ist.

Langsamläufer-Impulse	2H*								T*		
Schnellläufer-Impulse	H	4H	H	T	2H, T	2T	T, H	H	T, H	2T	
Temperaturimpulse		2W	K				W, K		2K	W	
Premeteo-Index -zyklonal, + antizyklonal (Index 1+2+3)	47	27	17	19	20	8	4	-6	3	-5	
Pre.IX (ALTERNATIV)	36	16	6	8	9	-3					
Index 1 (12 - 12 UTC) exakte Aspekte des Tages	1	26	6	2	3	-3	-7	1	3	-5	
Index 1 (ALTERNATIV)											
Symmetrien (0 - 0 UTC)	GaZ 2 Sat Jun (04) H* (7,5/0,5) H* (6/14 ist im Übertrag erhalten) Auslösung im Index 3! Son 46 Ven GaZ (04) A K H A +14 Mar 179 Mak GSZ (06) H A - 7 Sat 150 Ves Sed (22) T* A*(7,5/8) H* ... Wegen Index 1	Pal 74 Sed GaZ (20) ? ...	Son 45 Ven Jun (18) A K H A +7	Hau 91 Ves Mer (09) A* A H - Mer 30p Ves Var (21) H T -7?	Mak 20p Ven Mar (08) A H +7	Ves 50p Plu Mer (09) A* H +7? Mar 14 Ura Chi (12) H*(8/3) ...	Mar 15 Chi Eri (12) A*(5/7) ... Pal 72 Qua Sed (20) A* A* H*(6,5/2) ...	Ves 90 Jup Eri (12) A* T* A*(5,5/5) -7	Mer 37 Nep GaZ (01) A*(1/2) ...		
Index 2 (12 -12 UTC)	35	0	0	7	7	0	0	-7	0	0	
Index 2 ALTERNATIV											
ausgelöste Aspekte (= Durch Konjunktionen aktivierte Aspekte)	Nep 135 Hau T?(1/3) -10 / 0 Qua 144 Sed H?(6,5/2) 11/0 Auslösung durch Index 2: Jun 120 Cer H* +5 Jun 150 Var H* +5 Jun 30 Apo H* +5 Ves 150 Sat T* -5	Nep 135 Hau T?(1/3) -10 / 0 Qua 144 Sed H?(6,5/2) 11/0	Qua 144 Sed H?(6,5/2) 11/0	Mer 45 Nep T-1 Qua 144 Sed H?(6,5/2) 11/0	Mer 45 Nep T-1 Qua 144 Sed H?(6,5/2) 11/0	Qua 144 Sed H?(6,5/2) 11/0	Qua 30 Apo H11 Qua 144 Sed H?(6,5/2) 11/0				
Index 3 (Summe)	11	1	11	10	10	11	11	0	0	0	
Index 3 ALTERNATIV	0	-10	0	-1	-1	0					
Symbol-Prognose	2	2	2	2	2	3	3	3	3	3	
Symbol-Prognose altern.	2	2	3	3	3	3	3	3	3	3	
Wochentag	MI	Do	Fr	Sa	So	Mo	Di	MI	Do	Fr	
Datum	1	2	3	4	5	6	7	8	9	10	
reale Wetterlage	T1: T - 2H*, 6H / +110 / altern. +66				H1: 2H-T/+20		T2: T*, 7T - H*, 4H / +5				
Luftdruck (hpa) 06 UTC	1018,8	1014	1008,1	1004,4	1004	1013,4	1018,7	1019,1	1025,8	1019,9	
mittl. Temp.(°C)	2,5	4,6	8,8	6,5	3,6	3,9	3,8	3,8	-0,5	1,2	
Sonnenscheindauer (h)	0	3,9	5,3	0,2	0	0,2	0,6	0	5,1	0	
Niederschlag (Liter)	0,5	1,1	0,2 / 2	0,5	12,3 / 14,5	0 / 1	2 / 2	0	0	0,4	
Bodenwetterlage 00 UTC (Kernlage des Druckgebiets, das SW-D beeinflusst)	T ü O-Alpen, H ü SchwM	T ü O-Alpen	T w Schottl	okkl T ü GB	schm H-Keil von S-F, T w Bisk	T mit Kernen ü O-F u M-Ital	H ü Finnland, Azor-H	okkl T von Benel bis S-F	T ü Sardinien	T w Iber	
Bodenströmung 12 UTC zyklonal (z), antizyklonal (a)	z	z	z	z	a-z	a-z	z	z	a-z	fl a	
Strömung auf 500 hpa 00 UTC	NW a-z	SW a-z	SW fla	SW z	W a-z	SO z	NW a-z	W a	S a-z	S z	
zutreffende Wettersymbole	5 f	2-5 hr	3 hr	5 f	5 f	3-5 hr	3-5 hr	5 hr	3-5 hr	5 hr	

Übertrag	02:41	00:19	05:29	00:28	03:10	06:02	04:39	11:19	01:29	03:15
Index 1: 0	ERI 144 APO	VEN 120 APO	MAR 150 KN1	MER 120 SED	VAR 120 APO	MER 144 KN1	JUP 90 VES	MER 30 JUN	MER 144 ORC	MER 150 KN1
Index 2: +14	WID 22°34'45"	FIS 28°40'46"	WID 04°28'07"	STE 25°04'50"	KRE 29°01'37"	STE 28°18'32"	WAA 23°08'22"	WAS 01°35'39"	WAS 02°28'47"	WAS 04°06'12"
	A*	SKO 28°34'45"	JUN 04°28'07"	STI 25°04'51"	A*	JUN 04°18'31"	A*	STE 01°35'40"	JUN 08°28'46"	JUN 04°06'10"
	H +1	H W +2	A	A	A	A	A*	A	T -	A
	03:32	02:31	06:06	11:50	05:17	07:42	05:17	11:38	02:19	18:37
	MER 90 URA	MER 60 CHI	MER 180 VES	MER 45 NEP	MER 45 PAL	SAT 150 SED	SON 72 CER	VEN 180 FY9	PAL 72 SED	MAR 144 KN1
	STE 21°02'36"	STE 22°22'26"	STE 23°59'29"	STE 25°45'33"	STE 26°48'28"	SCH 25°04'48"	WAS 18°37'09"	WID 03°36'39"	FIS 13°04'50"	WID 10°04'09"
	WID 21°02'37"	FIS 22°22'27"	KRE 23°59'30"	FIS 10°45'33"	FIS 11°48'29"	STI 25°04'48"	STI 00°37'08"	WAA 03°36'40"	STI 25°04'50"	JUN 04°06'10"
	H +1	A W	H +2	T -1	H +1	A*(7,5/8)	A W	A	A*	A
	18:07	04:17	14:35	11:50	06:05	11:19	05:28	15:20	04:45	19:02
	CER 90 VAR	MAR 180 FY9	SON 45 VEN	VEN 45 ORC	PAL 72 QUA	SON 135 FY9	MAR 150 ORC	CHI 120 VES	MAR 45 SED	MAR 45 SED
	WID 29°05'37"	WID 03°41'13"	WAS 14°57'27"	KRE 23°32'55"	FIS 12°13'02"	WAS 18°37'36"	WID 08°29'13"	FIS 22°44'22"	WID 10°04'56"	STI 10°04'56"
	KRE 29°05'38"	WAA 03°41'12"	FIS 29°57'27"	JUN 08°32'55"	STE 00°13'03"	WAA 03°37'37"	JUN 08°29'14"	KRE 22°44'22"	STI 25°04'55"	T -4
	H* +5	H W +8	A K	A*	A*	T -3	A	A*	A*	T -4
	16:35	06:07	17:39	08:05	14:56	13:28	22:38	06:08	19:30	
	NEP 0 PAL	MER 90 ERI	MER 90 EL6	MER 30 GaZ	CHI 30 ERI	MER 30 QUA	MER 120 GSZ	VEN 150 KN1	JUN 90 GSZ	MER 60 VEN
	FIS 10°39'42"	STE 22°35'02"	STE 24°40'31"	STE 26°58'36"	FIS 22°36'15"	WAS 00°14'18"	WAS 02°18'05"	WID 04°08'58"	STE 02°18'05"	STE 02°18'05"
	FIS 10°38'43"	WID 22°35'02"	WAA 24°40'31"	SCH 26°58'38"	WID 22°36'14"	STE 00°14'18"	WAA 02°18'04"	WID 04°08'58"	WAA 02°18'04"	A*
	A*	A	A	H +2	A*(5/7)	A	H +1	H K +2	A*	A*
	20:24	12:07	18:08	17:47	16:07	23:01	18:12	21:19		
	SAT 60 EL6	VEN 120 VAR	VEN 72 PLU	CER 120 QUA	VEN 180 GSZ	MER 90 CER	MER 120 FY9	MER 60 VEN	MAR 45 SED	MAR 45 SED
	SCH 24°41'01"	FIS 29°04'40"	WID 00°04'27"	STE 00°12'11"	WID 02°18'02"	WAS 00°49'46"	WAS 03°35'40"	WAS 05°15'05"	WID 10°04'56"	STI 10°04'56"
	WAA 24°41'01"	KRE 29°04'39"	STE 18°04'27"	STE 00°12'11"	WAA 02°18'03"	STI 00°49'45"	WAA 03°35'38"	WID 05°15'06"	A W	A W
	H*(12,5/4) +7	H +4	A	A*	A*	H K +1	A	A	A	A
	15:17	19:28	22:03	17:47	17:17	19:36	23:07			
	MER 90 JUP	SON 45 JUN	WAS 15°09'50"	SON 135 GSZ	MER 180 VAR	STE 28°59'47"	VEN 90 ERI	SON 150 VES	WAS 22°24'26"	WAS 22°24'26"
	STE 23°07'12"	WAS 15°09'50"	STE 00°09'50"	WAS 17°18'02"	STE 28°59'47"	KRE 28°59'48"	WID 22°37'15"	KRE 22°24'27"	T -3	T -3
	WAA 23°07'11"	STE 00°09'50"	H +3	WAA 02°18'02"	T -2	T -2	T -5	T -5		
	A	A	A	T -3						
	22:52	19:29	21:17	18:35			21:17			
	VEN 30 CER	SON 45 QUA	WAS 15°09'53"	SON 30 PLU	WAS 18°10'03"	STE 18°10'04"	SON 60 URA	WAS 21°19'07"	WID 21°19'07"	WID 21°19'07"
	FIS 29°26'14"	STE 00°09'53"	A	WAS 18°10'03"	STE 18°10'04"	A	WAS 21°19'07"	WID 21°19'07"	WID 21°19'07"	WID 21°19'07"
	WID 29°26'14"	STE 00°09'53"	H +4	A	A	A	AK			
	23:16	19:33	20:51	20:57						
	MER 135 ORC	JUN 0 QUA	STE 00°09'54"	MER 30 SAT	STE 24°51'55"	SCH 24°51'54"				
	STE 23°35'19"	STE 00°09'54"	A*	STE 24°51'55"	A	A				
	JUN 08°35'21"	A*	A	STE 24°51'54"	A	A				
	A	A	A	A	A	A				
	20:56	20:51	20:57	20:57						
	VEN 90 QUA	WID 00°09'57"	STE 00°09'58"	VEN 90 QUA	WID 00°11'37"	STE 00°11'38"				
	WID 00°09'57"	STE 00°09'58"	A	WID 00°11'37"	STE 00°11'38"	A				
	A	A	A	A	A	A				
	21:47									
	VEN 90 JUN	WID 00°11'37"	STE 00°11'38"							
	WID 00°11'37"	STE 00°11'38"	A							
	A	A	A							

Februar 2017



Prognose für SW-Deutschland

Vom 1. bis 7. tritt durch die Konjunktion von Juno mit Quaoar im Index 3 Quaoar 144° Sedna H7(6,5/2) 11/0 auf, dessen H-Impuls noch unsicher ist.
Ab dem 20. ist die Konjunktion Uranus 0° Eris A2(2/1) aktiviert.
Vom 20. bis 28. tritt durch die Konjunktion von Uranus mit Eris im Index 3 Orcus 135° Eris ?° auf, dessen Impuls zu diesem Prognosezeitpunkt noch ganz unbekannt ist.

Langsamläufer-Impulse	H*			H*		2T*	H*, H*		H*	H*	
Schnellläufer-Impulse		H, T	2H, T	H		2H	T, H		2H	2H	
Temperaturimpulse	W			K							
Premeteo-Index - zyklonal, + antizyklonal (Index 1+2+3)	0	1	12	0	10	-13	2	34	4	17	
Pre.IX (ALTERNATIV)											
Index 1 (12 - 12 UTC) exakte Aspekte des Tages	-7	8	-2	0	5	-13	2	22	4	17	
Index 1 (ALTERNATIV)											
Symmetrien (0 - 0 UTC)	Pal 71 Jun Sed (01) H* A* A*+7 Mer 35 Nep Qua (04) T*(0/2) --- Chi 30 Son Eri (16) A A*(5/7) A --- Sed 150 Sai Hau (21) A*(7,5/8) ?° H*(12,5/4) ? Ves 91 Jup Ura (21) A* T* H*(13/5/1) -7	Nep 74 Sed GaZ (02) ?° ? Jun 68 Nep Hau (14) ?° --- GSZ 9op Mar Chi (22) A T*(1/5) ---	Mer 36 Pal Jun (03) H* +14	Ven 14 Ura Chi (02) H* (8/3) --- Jup 10op Mar Cer (23) A H* +7?	Ven 15 Chi Eri (03) A*(5/7) --- Mar 10op Jup Mak (03) A, H +7? Son 145 Ves GSZ (12) A, A H* --- Qua 3 Jun GaZ (20) A* ?° Auslösung im Index 3!	Son 144 Ves Mak (01) A, A T* ---	Hau 9op Mar Cer (22) A H* +7?	Mar 6 Ven Ura (05) H W A +7? Jun 72 Jup Pal (12) H* H* A* +14 Orc 8op Son Pal (18) H H* +7?	Mar 6 Ven Eri (06) H W A* +7? Qua 4 Sat Jun (08) H*(4/2) A* +7?		
Index 2 (12 - 12 UTC)	7	-7	14	0	0	0	0	12	0	0	
Index 2 ALTERNATIV											
ausgelöste Aspekte (= durch Konjunktionen aktivierte Aspekte)					Auslösung durch Index 2: Jun 90 Mak H* +5					Chi 30 Eri A*(5/7) Orc 135 Eri ?°	
Index 3 (Summe)	0	0	0	0	5	0	0	0	0	0	
Index 3 ALTERNATIV											
Symbol-Prognose	3	3	2	3	2	3	3	2	3	2	
	3	3	2	3	2	3	3	2	3	2	
Wochentag	Sa	So	Mo	Di	Mi	Do	Fr	Sa	So	Mo	
Datum	11	12	13	14	15	16	17	18	19	20	
reale Wetterlage			H2: Hf*, 4H*, 10 H - 2T*, 2T / +66								
Luftdruck (hpa) 06 UTC	1020,3	1022,2	1027,7	1028,8	1035,7	1034,5	1028	1028,1	1026,1	1024,8	
mittl. Temp.(°C)	1,2	2,8	1,6	1,4	3,5	7,5	7,5	5,6	4,7	8,1	
Sonnenscheindauer (h)	0	1,1	7	8,6	8,9	8,3	2,6	7,3	7,2	0	
Niederschlag (Liter)	2 / 2	0	0	0	0	6,3 / 6	6,5 / 9	0	0	0,5	
Bodenwetterlage 00 UTC (Kernlage des Druckgebiets, das SW-D beeinflusst)	T ü W-Iber	T ü SW-Iber	H ü S-Skand u O-Eu	T sw Irl, H ü S-Skand u O-Eu	H ü Skand u. Balkan	H ü Karpat, T bei Schottl	H ü NW-F, T ü Osee	H ü O-F	Azor-H, H ü Österr	Azor-H, T ü Nm u Finn	
Bodenströmung 12 UTC zyklonal (z), antizyklonal (a)	z	a-z	fl a	fl a	a-z	a	fl a	a	fl a	fl a	
Strömung auf 500 hpa 00 UTC	SW z	SW z	fl a	SO fl z	SO a	S a-z	WNW fl z	N z	N fl a	N z	
zutreffende Wettersymbole	2-5 r	2-5 r	2 r	2 hr	2 r	2 hr	5 hr	2 r	2-3 r	5 f	

SON 60 ERI WAS 22°37'43" WID 22°37'43" A	04:22	MAR 30 NEP WID 11°01'53" H+4	01:51	SON 120 EL6 WAS 24°36'55" WAA 24°36'54" H---	03:32	SON 60 SAT WAS 25°43'43" SCH 25°43'44" H---	05:59	MER 45 GAZ WAS 11°58'43" SCH 26°58'42" A	04:44	SON 144 FY9 WAS 27°30'25" WAA 03°30'24" A	00:15	SON 150 VAR WAS 28°48'21" KRE 28°48'21" T-3	07:08	MAR 135 APO WID 15°28'18" SCH 00°28'18" A	02:24	SON 90 APO FIS 00°34'41" SCH 00°34'41" H+3	01:18	MER 45 JUN WAS 20°02'01" STE 05°02'02" H+1	03:26
SON 30 CHI WAS 22°51'27" FIS 22°51'27" A	09:48	MER 45 CHI WAS 07°55'25" FIS 22°55'24" T-1	14:53	MER 72 URA WAS 09°27'03" WID 21°27'05" H+1	14:21	MER 72 ERI WAS 10°38'49" WID 22°38'51" H---	08:35	MER 72 APO WAS 12°09'40" SCH 00°09'40" A	07:29	VEN 150 ORC WID 08°20'54" JUN 08°20'53" H+2	00:47	MER 45 QUA WAS 15°24'34" STE 00°24'35" H+1	07:57	MER 135 GSZ WAS 17°18'08" WAA 02°18'07" A	11:47	MER 135 FY9 WAS 18°27'33" WAA 03°27'31" H+1	04:39	JUP 144 PAL WAS 16°49'54" FIS 16°49'54" A*	07:24
PAL 135 VAR FIS 13°54'23" KRE 28°54'24" H* +5	14:11	MER 150 ORC WAS 08°24'25" JUN 08°24'26" A	22:20	SON 90 SED WAS 25°05'07" STI 25°05'06" T-3	14:42	MER 45 SAT WAS 10°44'29" SCH 25°44'31" A	10:01	SON 60 GAZ WAS 26°58'42" SCH 26°58'42" A	11:41	SON 144 VES WAS 27°33'47" KRE 21°33'48" A	01:35	QUA 30 APO STE 00°24'49" SCH 00°24'49" H* +11	13:55	VEN 144 KN1 WID 09°39'16" JUN 03°39'17" A	14:25	MER 30 PLLU STE 18°31'42" A	05:39	PLU 135 KN1 WAS 18°33'35" JUN 03°33'35" H*(12/2,5) +11	09:29
SON 120 JUP WAS 23°05'44" WAA 23°05'43" A W	15:27	CER 150 GSZ STI 02°18'05" WAA 02°18'05" A*	23:49	JUP 150 CHI WAA 23°01'54" FIS 23°01'54" A*	14:22	JUN 120 KN1 STE 03°47'58" JUN 03°47'58" A*	20:49	URA 90 VES WID 21°32'54" KRE 21°32'55" T* -5	04:00	CER 120 KN1 STI 03°42'28" JUN 03°42'28" HP* +11	14:21	SON 60 QUA FIS 00°26'05" STE 00°26'05" A	21:53	JUP 72 JUN WAA 22°51'50" STE 04°51'51" H* +5	13:09	MER 150 VES WAS 20°57'25" KRE 20°57'26" A	16:42		
						15:51	MER 30 NEP WAS 11°07'34" FIS 11°07'34" A K		12:04	VES 72 FY9 WAS 21°29'58" KRE 21°29'58" T* -10	15:42	MER 30 PAL WAS 15°56'04" FIS 15°56'05" A		13:26	VEN 45 SED WID 10°05'49" STI 25°05'49" A	18:20	SON 150 GSZ FIS 02°18'07" WAA 02°18'07" H+3		
						19:36	SON 144 GSZ WAS 26°18'06" WAA 02°18'06" A		13:26	MAR 144 ORC WID 14°20'17" JUN 08°20'17" H+4				15:28	MAR 30 PAL WID 16°36'24" FIS 16°36'25" A				
						22:10	JUN 90 FY9 STE 03°31'22" WAA 03°31'22" H* +5		18:16	MER 60 MAR WAS 14°29'11" WID 14°29'11" A									
									21:47	CER 150 FY9 STI 03°29'36" WAA 03°29'36" A*									

Februar 2017



Prognose für SW-Deutschland

Langsamläufer-Impulse				H*	2H*			H*
Schnellläufer-Impulse	T, H	T	T, Tf, H	3T, Tf	H, Hf	2H, T	2H, Hf	
Temperaturimpulse	K, W			K				
Premeteo-Index - zyklonal, + antizyklonal (Index 1+2+3)	5	0	7	-28	23	27	11	34
Pre.IX (ALTERNATIV)					18			
Index 1 (12 - 12 UTC) exakte Aspekte des Tages	2	3	0	-13	23	7	2	10
Index 1(ALTERNATIV)					18			
Symmetrien (0 - 0 UTC)	Mar 37 Nep Sed (21) T*(10,5)2 --- Son 45 Mar Plu (21) A T A 0 wegen Index !!	GSZ 9op Ven Chi (03) A T*(1/5) ---	Orc 3op Son Nep (10) H A*(3/1,5) +7 Nep 6 Son Pal (11) H W A* +7? Mar 91 Plu Ves (19) A H A* +7 Mer 144 Ves GSZ (22) T Tl H* -14	Mer 144 Ves Mak (06) T Hl T* ? Son 60 Jun Cer (13) T A H* -7	Jun 72 Pal Hau (14) H* H* H* 14 Ura 1 Mar Eri (21) A A*(2/1) ?		Hau 149 Chi Sed (22) T*(5/10,5) ? T*(1/9) ---	Jup 180 Mar Ura (01) A H*(13/5/1) +7 Nep 8 Pal Mer (02) A* H W +7? Jup 180 Ura Eri (02) H*(13/5/1) A*(5/5,5) +7 Mak 10op Ven Chi (06) A H*(4/2) --- Ven 10op Jup Mak (11) H A +7? Orc 4op Nep Mer (13) ? A ? Eri 1 Mar Ura (23) A* A*(2/1) ?
Index 2 (12 - 12 UTC)	0	0	7	-14	0	14	0	14
Index 2 ALTERNATIV								
ausgelöste Aspekte (= durch Konjunktionen aktivierte Aspekte)	Son 150 GSZ H3 Chi 30 Eri A*(5/7) Orc 135 Eri ?*	Son 45 Plu T-3 Son 150 Mak H3 Son 180 Kn1 T-3 Chi 30 Eri A*(5/7) Orc 135 Eri ?*	Chi 30 Eri A*(5/7) Orc 135 Eri ?*	Mer 60 Gaz T-1 Chi 30 Eri A*(5/7) Orc 135 Eri ?	Chi 30 Eri A*(5/7) Orc 135 Eri ?*	Jup 180 Ura H6 Chi 30 Eri A*(5/7) Orc 135 Eri ?*	Son 72 Gaz H3 Jup 180 Ura H6 Orc 135 Eri ?*	Mer 150 Mak H1 Son 72 Gaz H3 Jup 180 Ura H6 Orc 135 Eri ?*
Index 3 (Summe)	3	-3	0	-1	0	6	9	10
Index 3 ALTERNATIV								
Symbol-Prognose	3	3	3	5	2	2	2	2
	3	3	3	5	2	2	2	2
Wochentag	Di	Mi	Do	Fr	Sa	So	Mo	Di
Datum	21	22	23	24	25	26	27	28
reale Wetterlage	T3:T, H / +5	H3: 3H*, 2Hf, 6H - 2Tf, 6T / +40						T4: H* / +34
Luftdruck (hpa) 06 UTC	1019,5	1016,9	1011,6	1012,3	1024,1	1018,8	1012	1000,9
mittl. Temp.(°C)	10,6	10,5	11,7	5	3,7	7,2	9,9	5,8
Sonnenscheindauer (h)	0	0	5,1	1,1	9,6	3,7	9,2	0,4
Niederschlag (Liter)	0,6 / 1	0	0,2 / 1	4,9 / 6	0	0	12,5 / 13	6,4 / 10
Bodenwetterlage 00 UTC (Kernlage des Druckgebiets, das SW-D beeinflusst)	T ü Nm-Balti	Azor-H	H ü NO-Iber	T ü NO-D	H ü O-F	H ü O-Balkan, T ü S-Skand	fl H-Brücke zw Azor-H u H ü S-R	T ü Nm u Nsee
Bodenströmung 12 UTC zyklonal (z), antizyklonal (a)	a-z	fl a	a-z	a	a	fl a	fl a	z
Strömung auf 500 hpa 00 UTC	NW a	NW fl a	WNW a-z	W z	NW a-z	W a	SW fl a	SW z
zutreffende Wettersymbole	5 hr	5 hr	3 r	5 r	2 r	3-5 hr	2 r	5 f

04:02	01:20	03:31	00:37	00:11	03:45	00:20	00:45
MER 60 URA WAS 21°44'58" WID 21°44'59" T K-1	SON 45 PLU FIS 03°36'12" STE 18°36'13" T---	MER 90 SED WAS 25°06'28" STI 25°06'29" A	MER 144 VES WAS 26°37'13" KRE 20°37'15" T-2	MAR 90 VES WID 20°32'15" KRE 20°32'16" H+4	SON 45 ERI FIS 07°43'51" WID 22°43'51" A	MAR 0 URA WID 22°00'12" WID 22°00'12" A	MAR 0 ERI WID 22°44'45" WID 22°44'45" A*
05:26	04:15	03:42	01:21	04:33	06:29	00:46	01:51
SON 45 MAR FIS 02°46'05" WID 17°46'05" A	MAR 135 KN1 WID 18°27'55" JUN 03°27'55" A	SON 144 VAR FIS 04°42'36" KRE 28°42'35" T---Index 2!	SON 135 VES FIS 05°37'05" KRE 20°37'05" A	PAL 144 EL6 FIS 18°29'36" WAA 24°29'36" H* +10	MER 60 QUA FIS 00°32'21" STE 00°32'21" H+1	SON 72 SAT FIS 08°36'40" SCH 26°36'40" A	MER 45 PLU FIS 03°45'18" STE 18°45'17" A
17:31	04:19	15:27	03:39	05:03	13:36	06:21	12:24
MER 60 ERI WAS 22°41'48" WID 22°41'50" A	MER 30 CHI WAS 23°27'33" FIS 23°27'34" A	FY9 30 KN1 WAA 03°23'15" JUN 03°23'15" A*(7/5,5)	MER 45 VEN WAS 26°50'19" WID 11°50'19" T K-2	MER 150 VAR WAS 28°40'42" KRE 28°40'40" Hf K+7	SON 180 ORC FIS 08°08'37" JUN 08°08'36" H+6	MER 150 GSZ FIS 02°18'08" WAA 02°18'09" A	VES 72 GSZ KRE 20°18'09" WAA 02°18'09" H* +5
18:29	09:03	20:12	05:36	08:16	18:41	09:34	12:34
MER 120 JUP WAS 22°45'53" WAA 22°45'51" A	MAR 90 PLU WID 18°36'42" STE 18°36'43" A	MER 144 GSZ WAS 26°18'10" WAA 02°18'09" Tf-7	MER 60 Gaz WAS 26°58'46" SCH 26°58'46" Tf-7	JUN 72 EL6 STE 06°29'29" WAA 24°29'29" H* +5 / 0	MER 90 APO FIS 01°26'18" SCH 01°26'18" T-1	SON 72 Gaz FIS 08°58'47" SCH 26°58'47" H+3	MAR 135 ORC WID 23°06'17" JUN 08°06'17" A
20:53	19:17	21:46	06:36	08:38	14:26	13:30	
SON 150 FY9 FIS 03°24'60" WAA 03°24'59" H+3	MER 120 EL6 WAS 24°31'16" WAA 24°31'16" H---	MER 60 SAT WAS 26°24'55" SCH 26°24'56" H---	SON 60 CER FIS 05°50'18" STI 05°50'18" A	SON 45 URA FIS 06°55'47" WID 21°55'47" A	MAR 180 JUP WID 22°25'56" WAA 22°25'56" A	MER 144 VAR FIS 04°37'42" KRE 28°37'42" A	
22:21	22:02		11:04	18:59		22:11	
SON 180 KN1 FIS 03°28'41" JUN 03°28'42" T W ---	VEN 30 NEP WID 11°26'06" FIS 11°26'06" A		MER 144 FY9 WAS 27°22'26" WAA 03°22'27" Hf ---	PLU 60 PAL STE 18°41'56" FIS 18°41'56" A*	MER 180 KN1 FIS 03°10'12" JUN 03°10'12" A	MER 135 VES FIS 05°16'55" KRE 20°16'53" A	
23:04	22:24		12:16	23:06	19:59		
MER 72 CER WAS 23°05'17" STI 05°05'18" A	JUP 180 ERI WAA 22°42'22" A*(5/5,5)		PAL 72 JUN FIS 18°15'41" STE 06°15'41" H* +5	SON 135 JUP FIS 07°32'09" WAA 22°32'08" A	MER 150 FY9 FIS 03°19'00" WAA 03°19'02" Hf +7		
			18:22		21:02		
			SON 60 JUN FIS 06°19'54" STE 06°19'54" T-3		SON 135 EL6 FIS 09°27'35" WAA 24°27'36" H+3		

07.03.2017
Februar 2017
01.02.2017



Prognose für SW-Deutschland
 nachträglich korrigiert im Index 3

Vom 1. bis 7. tritt durch die Konjunktion von Juno mit Quaoar im Index 3 Quaoar 144° Sedna H7°(6,5/2) 11/0 auf, dessen H-Impuls noch unsicher ist.
 Ab dem 20. ist die Konjunktion Uranus 0° Eris A7°(2/1) aktiviert.
 Vom 20. bis 28. tritt durch die Konjunktion von Uranus mit Eris im Index 3 Orcus 135° Eris ?° auf, dessen Impuls zu diesem Prognosezeitpunkt noch ganz unbekannt ist.

Langsamläufer-Impulse	2H*									T*
Schnellläufer-Impulse	H	4H	H	T	2H, T	2T	T, H	H	T, H	2T
Temperaturimpulse		2W	K				W, K		2K	W
Premeteo-Index -zyklonal, + antizyklonal (Index 1+2+3)	26	16	6	9	10	-3	-7	-6	3	-5
Pre.IX (ALTERNATIV)	36	26	6	9	10	-3	-7			
Index 1 (12 - 12 UTC) exakte Aspekte des Tages	1	26	6	2	3	-3	-7	1	3	-5
Index 1 (ALTERNATIV)										
Symmetrien (0 - 0 UTC)	GaZ 2 Sat Jun (04) H* (7,5/0,5) H* (+14 ist im Übertrag erhalten) Auslösung im Index 3: Son 46 Ven GaZ (04) A K, H A +14 Mar 179 Mak GSZ (06) H A +7 Sat 150 Ves Sed (22) T* A*(7,5/8) H* --- Wegen Index 1	Pal 74 Sed GaZ (20) ? ---	Son 45 Ven Jun (18) A K H A +7	Hau 91 Ves Mer (09) A* A H --- Mer 30p Ven Var (21) H T -7?	Mak 20p Ven Mar (08) A H +7	Ves 50p Plu Mer (09) A* H +7? Mar 14 Usa Chi (12) H*(8/3) ---	Mar 15 Chi Eri (12) A*(5/7) --- Pal 72 Qua Sed (20) A* A* H7*(6,5/2) ---	Ves 90 Jup Eri (12) A* T* A*(5,5/5)-7		Mer 37 Nep GaZ (01) A7*(1/2) ---
Index 2 (12 -12 UTC)	35	0	0	7	7	0	0	-7	0	0
Index 2 ALTERNATIV										
ausgelöste Aspekte (= durch Konjunktionen aktivierte Aspekte)	Nep 135 Hau T7*(1/3) -10/0 Qua 144 Sed H7*(6,5/2) 11/0 Auslösung durch Index 2: Jun 120 Cer H* +5 Jun 150 Var H* +5 Jun 30 Apo H* +5 Ves 150 Sat T* -5	Nep 135 Hau T7*(1/3) -10/0 Qua 144 Sed H7*(6,5/2) 11/0	Qua 144 Sed H7*(6,5/2) 11/0	Mer 45 Nep T-1 Qua 144 Sed H7*(6,5/2) 11/0	Mer 45 Nep T-1 Qua 144 Sed H7*(6,5/2) 11/0	Qua 144 Sed H7*(6,5/2) 11/0	Qua 30 Apo H11 Qua 144 Sed H7*(6,5/2) 11/0			
Index 3 (Summe)	-10	-10	0	0	0	0	0	0	0	0
Index 3 ALTERNATIV	0	0	0	0	0	0	0	0	0	0
Symbol-Prognose	2	2	3	3	2	3	3	3	3	3
Symbol-Prognose altern.	2	2	3	3	2	3	3	3	3	3
Wochentag	Mi	Do	Fr	Sa	So	Mo	Di	Mi	Do	Fr
Datum	1	2	3	4	5	6	7	8	9	10
reale Wetterlage	T1: T - 2H*, 6H / +57					H1: 2H-T/+10 T2: T*, 7T - H*, 4H / -17				
Luftdruck (hpa) 06 UTC	1018,8	1014	1008,1	1004,4	1004	1013,4	1018,7	1019,1	1025,8	1019,9
mittl. Temp.(°C)	2,5	4,6	8,8	6,5	3,6	3,9	3,8	3,8	-0,5	1,2
Sonnenscheindauer (h)	0	3,9	5,3	0,2	0	0,2	0,6	0	5,1	0
Niederschlag (Liter)	0,5	1,1	0,2 / 2	0,5	12,3 / 14,5	0 / 1	2 / 2	0	0	0,4
Bodenwetterlage 00 UTC (Kernlage des Druckgebiets, das SW-D beeinflusst)	T ü O-Alpen, H ü SchwM	T ü O-Alpen	T w Schottl	okkl T ü GB	schm H-Keil von S-F, T w Bisk	T mit Kernen ü O-F u M-Ital	H ü Finnland, Azor-H	okkl T von Benel bis S-F	T ü Sardinien	T w Iber
Bodenströmung 12 UTC zyklonal (z), antizyklonal (a)	z	z	z	z	a-z	a-z	z	z	a-z	fl a
Strömung auf 500 hpa 00 UTC	NW a-z	SW a-z	SW fla	SW z	W a-z	SO z	NW a-z	W a	S a-z	S z
zutreffende Wettersymbole	5 f	2-5 hr	3 r	5 hr	5 f	3-5 hr	3-5 hr	5 hr	3-5 r	5 hr

Übertrag	02:41	00:19	05:29	00:28	03:10	06:02	04:39	11:19	01:29	03:15	
Index 1: 0	ERI 144 APO	VEN 120 APO	MAR 150 KN1	MER 120 SED	VAR 120 APO	MER 144 KN1	JUP 90 VES	MER 30 JUN	MER 144 ORC	MER 150 KN1	
Index 2: +14	WID 22°34'45" SKO 28°34'45" A*	FIS 28°40'46" WID 04°28'07" SKO 28°40'46" H W +2	JUN 04°28'07" STI 25°04'51" A*	STE 25°04'50" STI 25°04'51" A*	KRE 29°01'37" SKO 29°01'37" A*	STE 28°18'32" JUN 04°18'31" A*	WAA 23°08'22" KRE 23°08'22" A	WAS 01°35'39" STE 01°35'40" T---	WAS 02°28'47" JUN 08°28'46" T---	WAS 04°06'12" JUN 04°06'10" A	MER 150 KN1
	03:32	02:31	06:06	11:50	05:17	07:42	05:17	11:38	02:19	18:37	
	MER 90 URA	MER 60 CHI	MER 180 VES	MER 45 NEP	MER 45 PAL	SAT 150 SED	SON 72 CER	VEN 180 FY9	PAL 72 SED	MAR 144 KN1	
	STE 21°02'36" WID 21°02'37" H +1	STE 22°22'26" FIS 22°22'27" A W	STE 23°59'29" KRE 23°59'30" H +2	STE 25°45'33" FIS 10°45'33" T-1	STE 26°48'28" FIS 11°48'29" H +1	SCH 25°04'48" STI 25°04'48" A*(7,5/8)	WAS 18°37'09" STI 00°37'08" A W	WID 03°36'40" WAA 03°36'40" A	WID 03°36'39" FIS 13°04'50" STI 25°04'50" A*	WID 10°04'09" JUN 04°04'08" A	MAR 144 KN1
	16:07	04:17	14:35	06:05	11:19	05:28	15:20	04:45	19:02		
	CER 90 VAR	MAR 180 FY9	SON 45 VEN	VEN 45 ORC	PAL 72 QUA	SON 135 FY9	MAR 150 ORC	CHI 120 VES	MAR 45 SED		
	WID 29°05'37" KRE 29°05'38" H* +5	WID 03°41'13" WAA 03°41'12" H W +8	WAS 14°57'27" FIS 29°57'27" A K	STE 23°59'29" KRE 23°59'30" H +2	STE 26°48'28" FIS 11°48'29" H +1	FIS 12°13'02" STE 00°13'03" A*	WAS 18°37'36" WAA 03°37'37" T -3	WID 08°29'13" JUN 08°29'14" A*	FIS 22°44'22" STI 25°04'50" A*	WID 10°04'56" STI 25°04'55" T -4	MAR 45 SED
	16:35	06:07	17:39	08:05	14:56	13:28	22:38	06:08	19:30		
	NEP 0 PAL	MER 90 ERI	MER 90 EL6	MER 30 GaZ	CHI 30 ERI	MER 30 QUA	MER 120 GSZ	VEN 150 KN1	JUN 90 GSZ		
	FIS 10°39'42" FIS 10°39'43" A*	STE 22°35'02" WID 22°35'02" A	STE 24°40'31" WAA 24°40'31" A	STE 26°58'36" SCH 26°58'38" H +2	FIS 22°36'15" WID 22°36'14" A*(5/7)	WAS 00°14'18" STE 00°14'18" A	WAS 02°18'05" WAA 02°18'04" H +1	WID 04°08'58" JUN 04°08'58" H K +2	STE 02°18'05" WAS 22°24'26" KRE 22°37'15" T* -5	STE 25°04'55" JUN 04°06'10" A	MAR 144 KN1
	20:24	12:07	18:08	17:47	16:07	23:01	19:12	21:19			
	SAT 60 EL6	VEN 120 VAR	VEN 72 PLU	CER 120 QUA	VEN 180 GSZ	MER 90 CER	MER 120 VES	MER 120 VES	MER 60 VEN		
	SCH 24°41'01" WAA 24°41'01" H*(12,5/4) +7	FIS 29°04'40" KRE 29°04'39" H +4	WID 00°04'27" STE 18°04'27" A	STI 00°12'11" STE 00°12'11" A*	WID 02°18'02" WAA 02°18'03" A	WAS 00°49'46" STI 00°49'45" H K +1	WAS 03°35'38" WID 05°15'06" A W	WAS 03°35'38" WID 05°15'06" A W	WAS 05°15'05" WID 05°15'06" A W	MER 60 VEN	
	15:17	19:28	19:28	22:03	17:17	19:36	23:07				
	MER 90 JUP	SON 45 JUN	SON 135 GSZ	SON 135 GSZ	MER 180 VAR	VEN 90 ERI	SON 150 VES				
	STE 23°07'12" WAA 23°07'11" A	WAS 15°09'50" STE 00°09'50" H +3	WAS 17°18'02" WAA 02°18'02" T -3	WAS 17°18'02" WAA 02°18'02" T -3	STE 28°59'47" KRE 28°59'48" T -2	STE 22°37'15" WAS 22°24'26" KRE 22°24'27" T* -5	WAS 22°24'26" KRE 22°24'27" T* -5				
	22:52	19:29		18:35		21:17					
	VEN 30 CER	SON 45 QUA	SON 30 PLU	SON 30 PLU	SON 30 PLU	SON 60 URA					
	FIS 29°26'14" WID 29°26'14" H +4	WAS 15°09'53" STE 00°09'53" A	WAS 18°10'03" STE 18°10'04" A	WAS 18°10'03" STE 18°10'04" A	WAS 18°10'03" STE 18°10'04" A	WAS 21°19'07" WID 21°19'07" A K					
	23:16	19:33		18:50							
	MER 135 ORC	JUN 0 QUA	JUN 144 SED	JUN 144 SED	MER 60 APO						
	STE 23°35'19" JUN 08°35'21" A	STE 00°09'54" STE 00°09'54" A*	STE 01°04'48" STI 25°04'48" A*	STE 01°04'48" STI 25°04'48" A*	STE 29°13'17" SKO 29°13'15" T -2						
	20:51			20:57							
	MER 30 SAT			MER 60 APO							
	STE 24°51'55" SCH 24°51'54" A			STE 29°13'17" SKO 29°13'15" T -2							
	20:56										
	VEN 90 QUA										
	WID 00°09'57" STE 00°09'58" A										
	21:47										
	VEN 90 JUN										
	WID 00°11'37" STE 00°11'38" A										

Februar 2017



Prognose für SW-Deutschland
nachträglich korrigiert im Index 3

Vom 1. bis 7. tritt durch die Konjunktion von Juno mit Quaoar im Index 3 Quaoar 144° Sedna H??(6,5/2) 11,0 auf, dessen H-Impuls noch unsicher ist.
Ab dem 10. ist die Konjunktion Uranus 0° Eris A?(2/1) aktiviert.
Vom 20. bis 28. tritt durch die Konjunktion von Uranus mit Eris im Index 3 Orcus 135° Eris ?' auf, dessen Impuls zu diesem Prognosezeitpunkt noch ganz unbekannt ist.

Langsamläufer-Impulse	H*			H*		2T*	H*, HF*		H*	H*
Schnellläufer-Impulse		H, T	2H, T	H		2H	T, H		2H	2H
Temperaturimpulse	W			K						
Premeteo-Index -zyklonal, + antizyklonal (Index 1+2+3)	0	1	12	0	5	-6	2	34	4	17
Pre.IX (ALTERNATIV)										
Index 1 (12 - 12 UTC) exakte Aspekte des Tages	-7	8	-2	0	5	-13	2	22	4	17
Index 1(ALTERNATIV)										
Symmetrien (0 - 0 UTC)	Pal 71 Jun Sed (01) H* A* A*+7 Mar 35 Nep Qua (04) T?(0/2) --- Chi 30 Son Eri (16) A A'(5/7) A --- Sed 150 Sat Hau (21) A'(7,5/8) ?' H'(12,5/4)? Ves 91 Jup Ura (21) A* T* H'(13,5/1)-7	Nep 74 Sed GaZ (02) ? ? ? Jun 68 Nep Hau (14) ? ? --- GSZ 9op Mar Chi (22) A.T?(1/5) ---	Mer 36 Pal Jun (03) H* +14	Ven 14 Ura Chi (02) H* (8/3) --- Jup 10op Mar Cer (23) A H* +7?	Ven 15 Chi Eri (03) A'(5/7) --- Mar 10op Jup Mak (03) A H +7? Son 145 Ves GSZ (12) A A H* --- Qua 3 Jun GaZ (20) A* H?(3/0) +7 Auslösung im Index 3!	Son 144 Ves Mak (01) A A T* ---	Hau 9op Mar Cer (22) A H* +7?	Mar 6 Ven Ura (05) H W A +7? Jun 72 Jup Pal (12) H* H* A* +14 Orc 8op Son Pal (18) H H* +7?	Mar 6 Ven Eri (06) H W A* +7? Qua 4 Sat Jun (06) H?(4/2) A* +7?	
Index 2 (12 - 12 UTC)	7	-7	14	0	0	7	0	12	0	0
Index 2 ALTERNATIV										
ausgelöste Aspekte (= durch Konjunktionen aktivierte Aspekte)						Auslösung durch Index 2: Jun 90 Mak H* +5				Chi 30 Eri A?(5/7) Orc 135 Eri ?'
Index 3 (Summe)	0	0	0	0	0	0	0	0	0	0
Index 3 ALTERNATIV										
Symbol-Prognose	3	3	2	3	3	3	3	2	3	2
Wochentag	Sa	So	Mo	Di	Mi	Do	Fr	Sa	So	Mo
Datum	11	12	13	14	15	16	17	18	19	20
reale Wetterlage	H2: HF*, 4H*, 10 H - 2T*, 2T / +68									
Luftdruck (hpa) 06 UTC	1020,3	1022,2	1027,7	1028,8	1035,7	1034,5	1028	1028,1	1026,1	1024,8
mittl. Temp.(°C)	1,2	2,8	1,6	1,4	3,5	7,5	7,5	5,6	4,7	8,1
Sonnenscheindauer (h)	0	1,1	7	8,6	8,9	8,3	2,6	7,3	7,2	0
Niederschlag (Liter)	2 / 2	0	0	0	0	6,3 / 6	6,5 / 9	0	0	0,5
Bodenwetterlage 00 UTC (Kernlage des Druckgebiets, das SW-D beeinflusst)	T ü W-Iber	T ü SW-Iber	H ü S-Skand u O-Eu	T sw Irl, H ü S-Skand u O-Eu	H ü Skand u. Balkan	H ü Karpat. T bei Schottl!	H ü NW-F, T ü Osee	H ü O-F	Azor-H, H ü Österr	Azor-H, T ü Nm u Finn!
Bodenströmung 12 UTC zyklonal (z), antizyklonal (a)	z	a-z	fl a	fl a	a-z	a	fl a	a	fl a	fl a
Strömung auf 500 hpa 00 UTC	SW z	SW z	fl a	SO fl z	SO a	S a-z	WNW fl z	N z	N fl a	N z
zutreffende Wettersymbole	2-5 r	2-5 r	2 r	2 hr	2 hr	2 hr	5 hr	2 r	2-3 r	5 f

04:22	01:51	03:32	05:59	04:44	00:15	07:08	02:24	01:18	03:26
SON 60 ERI WAS 22°37'43" WID 11°01'53" A	MAR 30 NEP WID 11°01'53" FIS 11°01'53" H+4	SON 120 EL6 WAS 24°36'55" WAA 24°36'54" H---	SON 60 SAT WAS 25°43'43" SCH 25°43'44" H---	MER 45 GaZ WAS 11°58'43" SCH 26°58'42" A	SON 144 FY9 WAS 27°30'25" WAA 03°30'24" A	SON 150 VAR WAS 28°48'21" KRE 28°48'21" T-3	MAR 135 APO WID 15°28'18" SCH 00°28'18" T-3	SON 90 APO FIS 00°34'41" SCH 00°34'41" H+3	MER 45 JUN WAS 20°02'01" STE 05°02'02" H+1
09:48	14:53	14:21	08:35	07:29	00:47	07:57	11:47	04:39	07:24
SON 30 CHI WAS 22°51'27" FIS 22°51'27" A	MER 45 CHI WAS 07°55'25" FIS 22°55'24" T-1	MER 72 URA WAS 09°27'03" WID 21°27'05" H+1	MER 72 ERI WAS 10°38'49" WID 22°38'51" A	MER 72 APO WAS 12°09'40" SCH 00°09'40" A	VEN 150 ORC WID 08°20'54" JUN 08°20'53" H+2	MER 45 QUA WAS 15°24'34" STE 00°24'35" H+1	MER 135 GSZ WAS 17°18'08" WAA 02°18'07" A	MER 135 FY9 WAS 18°27'33" WAA 03°27'31" H+1	JUP 144 PAL WAA 22°49'54" FIS 16°49'54" A*
14:11	22:20	14:42	10:01	11:41	01:35	13:55	14:25	05:39	09:29
PAL 135 VAR FIS 13°54'23" KRE 28°54'24" H* +5	MER 150 ORC WAS 08°24'25" JUN 08°24'26" A	SON 90 SED WAS 25°05'07" STI 25°05'06" T-3	MER 45 SAT WAS 10°44'29" SCH 25°44'31" A	SON 60 GaZ WAS 26°58'42" SCH 26°58'42" A	SON 144 VES WAS 27°33'47" KRE 21°33'48" A	QUA 30 APO STE 00°24'49" SCH 00°24'49" H* +11	VEN 144 KN1 WID 09°39'16" JUN 03°39'17" A	MER 30 PLU WAS 18°31'40" STE 18°31'42" A	PLU 135 KN1 STE 18°33'35" JUN 03°33'35" H*(12/2,5) +11
15:27	23:49	14:22	20:49	04:00	14:21	21:53	13:09	16:42	
SON 120 JUP WAS 23°05'44" WAA 23°05'43" A W	CER 150 GSZ STI 02°18'05" WAA 02°18'05" A*	JUP 150 CHI WAA 23°01'54" FIS 23°01'54" A*	JUN 120 KN1 STE 03°47'58" JUN 03°47'58" A*	URA 90 VES WID 21°32'54" JUN 03°42'28" KRE 21°32'55" T* -5	CER 120 KN1 STI 03°42'28" FIS 00°26'05" STE 00°26'05" H* +11	SON 60 QUA WID 09°39'16" FIS 00°26'05" STE 00°26'05" A	JUP 72 JUN WAA 22°51'50" STE 04°51'51" H* +5	MER 150 VES WAS 20°57'25" KRE 20°57'26" A	
		15:51		12:04	15:42		13:26	18:20	
		MER 30 NEP WAS 11°07'34" FIS 11°07'34" A K		VES 72 FY9 KRE 21°29'58" WAS 15°56'04" FIS 15°56'05" A		MER 30 PAL WAS 15°56'04" FIS 15°56'05" A		VEN 45 SED WID 10°05'49" STI 25°05'49" A	SON 150 GSZ FIS 02°18'07" WAA 02°18'07" H+3
		19:36		13:26			15:28		
		SON 144 GSZ WAS 26°18'06" WAA 02°18'06" A		MAR 144 ORC WID 14°20'17" JUN 08°20'17" H+4			MAR 30 PAL WID 16°36'24" FIS 16°36'25" A		
		22:10		18:16					
		JUN 90 FY9 STE 03°31'22" WAA 03°31'22" H* +5		MER 60 MAR WAS 14°29'11" WID 14°29'11" A					
				21:47					
				CER 150 FY9 STI 03°29'36" WAA 03°29'36" A*					

Februar 2017



Prognose für SW-Deutschland

nachträglich korrigiert im Index 3

Langsamläufer-Impulse				H*	2H*			H*
Schnellläufer-Impulse	T, H	T	T, Tf, H	3T, Tf	H, Hf	2H, T	2H, Hf	
Temperaturimpulse	K, W			K				
Premeteo-Index -zyklonal, + antizyklonal (Index 1+2+3)	5	6	7	-27	23	21	5	28
Pre.IX (ALTERNATIV)					18			
Index 1 (12 - 12 UTC) exakte Aspekte des Tages	2	3	0	-13	23	7	2	10
Index 1(ALTERNATIV)					18			
Symmetrien (0 - 0 UTC)	Mar 37 Nep Sed (21) T?(0,5/2) --- Son 45 Mar Plu (21) A T A 0 wegen Index !!	GSZ 90p Ven Chi (03) A T?(1/5) ---	Orc 30p Son Nep (10) H A?(3/1,5) +7 Nep 6 Son Pal (11)H W A* +7? Mar 91 Plu Ves (19) A H A* +7 Mer 144 Ves GSZ (22) T TI H* -14	Mer 144 Ves Mak (06) T Hf T? ? Son 60 Jun Cer (13) T A H* -7	Jun 72 Pal Hau (14) H* H* H* 14 Ura 1 Mar Eri (21) A A?(2/1) ?		Hau 149 Chi Sed (22) T?(5/10,5) ? T?(1/9) ---	Jup 180 Mar Ura (01) A H*(13/5/1) +7 Nep 8 Pal Mer (02) A* H W +7? Jup 180 Ura Eri (02) H*(13/5/1) A?(5/5,5) +7 Mak 100p Ven Chi (06) A H?(4/2) --- Ven 100p Jup Mak (11) H A +7? Orc 40p Nep Mer (13) ? A ? Eri 1 Mar Ura (23) A* A?(2/1) ?
Index 2 (12 -12 UTC)	0	0	7	-14	0	14	0	14
Index 2 ALTERNATIV								
ausgelöste Aspekte (= durch Konjunktionen aktivierte Aspekte)	Son 150 GSZ H3 Chi 30 Eri A?(5/7) Orc 135 Eri ?*	Son 45 Plu T-3 Son 150 Mak H3 Son 180 Kn1 T-3 Chi 30 Eri A?(5/7) Orc 135 Eri ?*	Chi 30 Eri A?(5/7) Orc 135 Eri ?*	Mer 60 GaZ T-1 Chi 30 Eri A?(5/7) Orc 135 Eri ?*	Chi 30 Eri A?(5/7) Orc 135 Eri ?*	Jup 180 Ura H6 Chi 30 Eri A?(5/7) Orc 135 Eri ?*	Son 72 GaZ H3 Jup 180 Ura H6 Orc 135 Eri ?*	Mer 150 Mak H1 Son 72 GaZ H3 Jup 180 Ura H6 Orc 135 Eri ?*
Index 3 (Summe)	3	3	0	0	0	0	3	4
Index 3 ALTERNATIV								
Symbol-Prognose	3	3	3	3	2	2	3	2
Wochentag	Di	Mi	Do	Fr	Sa	So	Mo	Di
Datum	21	22	23	24	25	26	27	28
reale Wetterlage	T3:T, H / +5	H3: 3H*, 2Hf, 6H - 2Tf, 6T / +45						T4: H* / +28
Luftdruck (hpa) 06 UTC	1019,5	1016,9	1011,6	1012,3	1024,1	1018,8	1012	1000,9
mittl. Temp.(°C)	10,6	10,5	11,7	5	3,7	7,2	9,9	5,8
Sonnenscheindauer (h)	0	0	5,1	1,1	9,6	3,7	9,2	0,4
Niederschlag (Liter)	0,6 / 1	0	0,2 / 1	4,9 / 6	0	0	12,5 / 13	6,4 / 10
Bodenwetterlage 00 UTC (Kernlage des Druckgebiets, das SW-D beeinflusst)	T ü Nm-Balti	Azor-H	H ü NO-Iber	T ü NO-D	H ü O-F	H ü O-Balkan, T ü S-Skand	fl H-Brücke zw Azor-H u H ü S-R	T ü Nm u Nsee
Bodenströmung 12 UTC zyklonal (z), antizyklonal (a)	a-z	fl a	a-z	a	a	fl a	fl a	z
Strömung auf 500 hpa 00 UTC	NW a	NW fl a	WNW a-z	W z	NW a-z	W a	SW fl a	SW z
zutreffende Wettersymbole	5 hr	5 hr	3 r	5 hr	2 r	3-5 f	2 hr	5 f

04:02	01:20	03:31	00:37	00:11	03:45	00:20	00:45
MER 60 URA WAS 21'44'58" WID 21'44'59" T K -1	SON 45 PLU FIS 03'36'12" STE 18'36'13" T---	MER 90 SED WAS 25'06'28" STI 25'06'29" A	MER 144 VES WAS 26'37'13" KRE 20'37'15" T-2	MAR 90 VES WID 20'32'15" KRE 20'32'16" H+4	SON 45 ERI FIS 07'43'51" WID 22'43'51" A	MAR 0 URA WID 22'00'12" WID 22'00'12" A	MAR 0 ERI WID 22'44'45" WID 22'44'45" A*
05:26	04:15	03:42	01:21	04:33	06:29	00:46	01:51
SON 45 MAR FIS 02'46'05" WID 17'46'05" A	MAR 135 KN1 WID 18'27'55" JUN 03'27'55" A	SON 144 VAR FIS 04'42'36" KRE 28'42'35" T---Index 2l	SON 135 VES FIS 05'37'05" WAA 24'29'36" A	PAL 144 EL6 FIS 18'29'36" WAA 24'29'36" H* +10	MER 60 QUA FIS 00'32'21" STE 00'32'21" H+1	SON 72 SAT FIS 08'36'40" SCH 26'36'40" A	MER 45 PLU FIS 03'45'18" STE 18'45'17" A
17:31	04:19	15:27	03:39	05:03	13:36	06:21	12:24
MER 60 ERI WAS 22'41'48" WID 22'41'50" A	MER 30 CHI WAS 23'27'33" FIS 23'27'34" A	FY9 30 KN1 WAA 03'23'15" JUN 03'23'15" A*(7/5,5)	MER 45 VEN WAS 26'50'19" WID 11'50'19" T K -2	MER 150 VAR WAS 28'40'42" KRE 28'40'40" Hf K +7	SON 180 ORC FIS 08'08'37" JUN 08'08'36" H+6	MER 150 GSZ FIS 02'18'08" WAA 02'18'09" A	VES 72 GSZ KRE 20'18'09" WAA 02'18'09" H* +5
18:29	09:03	20:12	05:36	08:16	18:41	09:34	12:34
MER 120 JUP WAS 22'45'53" WAA 22'45'51" A	MAR 90 PLU WID 18'36'42" STE 18'36'43" A	MER 144 GSZ WAS 26'18'10" WAA 02'18'09" TI -7	MER 60 GAZ WAS 26'58'46" STE 26'58'46" TI -7	JUN 72 EL6 STE 06'29'29" WAA 24'29'29" H* +5 / 0	MER 90 APO FIS 01'26'18" SCH 01'26'18" T-1	SON 72 GAZ FIS 08'58'47" SCH 26'58'47" H+3	MAR 135 ORC WID 23'06'17" JUN 08'06'17" A
20:53	19:17	21:46	06:36	08:38	14:26	13:30	
SON 150 FY9 FIS 03'24'60" WAA 03'24'59" H+3	MER 120 EL6 WAS 24'31'16" WAA 24'31'16" A	MER 60 SAT WAS 26'24'55" SCH 26'24'56" H---	SON 60 CER FIS 05'50'18" STI 05'50'18" A	SON 45 URA FIS 06'55'47" WID 21'55'47" A	MAR 180 JUP WID 22'25'56" WAA 22'25'56" A	MER 144 VAR FIS 04'37'42" KRE 28'37'42" A	
22:21	22:02		11:04	18:59	18:01	22:11	
SON 180 KN1 FIS 03'28'41" JUN 03'28'42" T W ---	VEN 30 NEP WID 11'26'06" FIS 11'26'06" A		MER 144 FY9 WAS 27'22'26" WAA 03'22'27" Hf ---	PLU 60 PAL STE 18'41'56" FIS 18'41'56" A*	MER 180 KN1 FIS 03'10'12" JUN 03'10'12" A	MER 135 VES FIS 05'16'55" KRE 20'16'53" A	
23:04	22:24		12:16	23:06	19:59		
MER 72 CER WAS 23'05'17" STI 05'05'18" A	JUP 180 ERI WAA 22'42'22" WID 22'42'22" A*(5/5,5)		PAL 72 JUN FIS 18'15'41" STE 06'15'41" H* +5	SON 135 JUP FIS 07'32'09" WAA 22'32'08" A	MER 150 FY9 FIS 03'19'00" WAA 03'19'02" Hf +7		
			18:22		21:02		
			SON 60 JUN FIS 06'19'54" STE 06'19'54" T-3		SON 135 EL6 FIS 09'27'35" WAA 24'27'36" H+3		

Februar 2017: Fehlprognosen

Datum	Vorzeichen Symbol	Analyse
1.	+47 / korr. +26 (altern. +36) 5 f	Tief Hubert über Ostalpen. Nur Südwestdeutschland lag unter der Höhenokklusion von Tief Hubert mit Kern über den Ostalpen. Das restliche Deutschland gehörte zum Isobarenbereich eines Hochs über dem Schwarzmeer. Die hohen positiven Werte des Premeteo-Index kamen aus Index 2 und 3, während Index 1 mit +1 der Wetterlage am ehesten entsprach. Eine konstellatorische Besonderheit des Tages war die exakte Konjunktion von Pallas mit Neptun, ein A*-Aspekt, der Neptun 135° Haumea T?* auslöste.
2.	+27 / korr. +16 (altern. +16) 2-5 hr	Tief Jürgen über Ostatlantik. Es kam zwar zu einem schwachen Luftdruckanstieg mit heiteren Witterungsmomenten, doch wechselte die Region bei sehr milden Temperaturen in den Isobarenbereich von Tief Jürgen über dem Ostatlantik, das seinen Kern bis zum 4. nach Norden westlich von Schottland verlagerte, während sich nun der Kern von Tief Kurt westlich der Biskaya entwickelte. Der hohe Indexwert kam aus Index 1 durch Saturn 60° Haumea H*, Venus 120° Apogäum HW, Mars 180° Makemake H, Venus 120 Varuna H (inzwischen auch mit W eingestuft). Die antizyklonalen Impulse dieser Aspekte blieben mit der einhergehenden Erwärmung völlig hinter dem zyklonalen Konstellationsfaktor Pallas 0° Neptun A* und Auslösung Neptun 135° Haumea T?* zurück.
3.	+17 / korr. +6 (altern. +6) 3 hr	Tief Jürgen westlich Schottlands. Juno 0° Quaoar (1. - 7. 2., exakt am 3.) löste den unsicheren Aspekt Quaoar 144° Sedna H?* aus, der nur im alternativen Index nicht berechnet worden war und der nun aufgrund des Wetterlaufs zu Beginn dieses Monats auf A?* umgestuft wurde.
4.	+20 / +9 (altern. +8) 5 f	Okkludiertes Tief Kurt über Großbritannien. Über der Biskaya war derweil sehr rasch das Sturmtief Leiv entstanden, das über Frankreich fegte und am Spätnachmittag mit seinem Luftdruckminimum unsere Region passierte. Der Premeteo-Index und der alternative Premeteo-Index (ohne die Auslösung von Quaoar 144° Sedna H?*) lagen weiterhin im positiven Bereich, aber der einzige, exakte Impuls-Aspekt des Tages war Merkur 45° Neptun T, der durch die Konjunktion von Pallas mit Neptun auch im Index 3 als Auslöseaspekt auftrat.
6.	+8 / korr. -3 (altern. -3) 5 hr	Tief Marcel mit Kernen über Ostfrankreich und Mittelitalien. Index 1 und alternativer Index (ohne die Auslösung von Quaoar 144° Sedna H?*) sind negativ.
7.	+4 / korr. -7 3-5 hr	Hoch Erika über Finnland. Index 1 negativ und flacher Premeteo-Index.
9.	+3 3-5 hr	Tief Oli über Sardinien. Luftdruck Lahr 6 UTC beträgt 1025 hpa und Hoch Erika über Skandinavien gewinnt an Einfluss. Flacher Index.
12.	+1 2-5 r	Tief Pierre südwestlich von Portugal. Das Tief hielt mit seinen relativ milden Luftmassen das kalte Hoch Erika über Skandinavien in Schach, dessen Isobaren an der Südseite trotz steigenden Luftdrucks deutlich zum Kern von Tief Pierre gekrümmt blieben.
16.	-13 / korr. -6 2 hr	Hoch Erika über Karpaten und Tief Pierre bei Schottland. Am Abend des 16., ein wenig verspätet gegenüber dem Premeteo-Index dieses Tages von -13, griff noch mal Tief Pierre auf Deutschland über und brachte zum Teil kräftige Niederschläge, aber bis 12 UTC des 17. (Premeteo-Index +10) lag unsere Region schon wieder im flach

		antizyklonalen Bereich von Hoch Felicitas, das sich nun von Frankreich herein bewegte. Einzelner negativer Tag.
21.	+5 5 hr	Tief Rolf über Nordmeer und Baltikum. Flacher Index. Das Tief leitete die Phase ein, in der sich auch der Premeteo-Index und der Luftdruck im Diagramm der Nulllinie annähernten. Auf 500 hpa antizyklonal.
24.	-28 / korr. -27 5 r	Tief Thomas über Nordostdeutschland. Um 0 UTC lag Sturmtief Thomas mit seinem Kern über Nordostdeutschland und dehnte seinen Isobarenbereich über ganz Deutschland aus, doch bis Mittag lag schon wieder der Keil des Azorenhochs über Südwestdeutschland. Auf 500 hpa zyklonal, einzelner negativer Tag.
28.	+34 / korr. +28 5 f	Tief Udo III und IV über Nordmeer und Nordsee. Am letzten Tag des Monats, als der Premeteo-Index ein Maximum von +34 erreichte, trat durch das Sturmtief Udo III und IV ein Luftdruckminimum ein. Das Diagramm zeigt hier einen spiegelbildlichen Verlauf von Luftdruckkurve und Premeteo-Index, der auf das Phänomen der Impulsumkehrung hinweisen könnte. Es bestand eine besondere Konstellation, die bei ihren Einzelaspekten nur H-Impulse aufwies und die insbesondere auch über Symmetrien den Premeteo-Index nach oben trieben. Mars bildete eine Dreier-Konjunktion mit Uranus und Eris bei gleichzeitiger Opposition zu Jupiter. Dies könnte die entscheidende Konstellation für die Impulsumkehrung gewesen sein, da Uranus als ein Planet mit retrograder Eigenrotation daran beteiligt war. Der im Index 3 korrigierte Premeteo-Index hatte an diesem Tag den Wert +28.

Die korrigierten Premeteo-Indexwerte sind nachträglich im Index 3 korrigierte Werte. Es wurden im Index 3 dabei nur die Auslöseaspekte zugelassen, bei denen der Aspektpartner einen höheren Rang als der jeweils beteiligte Konjunktionsplanet hatte.

Beim korrigierten Premeteo-Index gibt es zwei Fehlprognosestage weniger.